经编压纱织物线圈的三维建模 与动态仿真

秦敏,陈少凤,王响,李丽,邓中民

(武汉纺织大学 纺织学院,湖北 武汉 430073)

摘要:通过对编链、六角网、经平和压纱等线圈三维模型的分析,根据各组织线圈结构特点,确定用同样曲线模拟织物结构,确定控制点的数目和位置,建立此类织物结构的理论模型,运用VC++程序进行编程,实现了压纱经编织物较好的仿真效果。

关键词:经编;压纱;三维仿真;线圈模型;控制点

中图分类号:TS 184.1+11

文献标志码:A

文章编号:1000-4033(2012)04-0003-04

虽然经编针织物的开发比纬编针织物和机织物起步晚,但它的发展空间及应用范围越来越广,且市场对经编针织物的需求正逐年增加。为提高经编针织物的开发速度,各种计算机辅助设计系统应运而生。这些软件通过对织物线圈结构的模拟,以达到对织物外观和图案效果的仿真,从而实现对织物结构特征和外观效果的提前预测。

对经编线圈结构的模拟研究, 比较早的是安立逊(ALLI-SON G L) 提出的简化模型,以半径为 2d 的 半圆作为针编弧,以两条直线和第 3条直线分别作为线圈圈柱和延展 线,但是该模型没有考虑线圈的立 体结构,也没有分前后梳栉。1964 年格罗斯勃(GROSSBERG P)提出 将线圈主干作为一弹性杆进行数 学力学分析,得出了格罗斯勃第一 模型和第二模型^[1]。以及后来的卓 乃坚的衬纬经编线圈模型,这些线 圈模型主要基于二维平面结构的 模拟,不能立体直观地显示织物的 三维结构,不利于对织物性能的研 究。随着计算机仿真技术的发展, 逐渐出现对经编针织物三维结构 以及三维仿真的研究。英国利兹大 学 Goktepe O 博士在研究过程中, 通过实验测量出普通单梳和双梳 经编组织的线圈结构参数,并对这 些参数进行对比分析,最终通过简 化纱线模型以及作出相应的假设. 采用 NURBS 方法获得了经编线圈 的三维立体模型,并运用计算机编 程语言实现了一些简单经编针织 物的三维模拟 [2-4]。本文在此基础 上,对经编线圈的三维模型进行改 进,以期三维仿真效果更好,线圈 模型适用范围更广。

1 经编针织物三维模型的建立

纱线在经编线圈中的走向弯

曲多变,为能较好地描述线圈的实际形状,本文采用描点法在 VC++环境中建立经编针织物线圈的三维模型,并以编链为地组织作压纱经编组织线圈三维模拟。

1.1 开口编链线圈模型

经编针织物的线圈由圈柱、圈 弧和延展线组成。开口编链线圈模 型如图 1 所示,采用 16 个点来控 制,再通过循环将线圈在纵横方向 进行延伸。

选用参数 w.h.k 表示线圈控

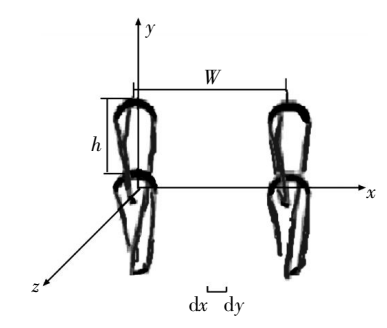


图 1 线圈结构仿真模拟

制点坐标与纱线运动轨迹,控制点 P(dx,dy,dz,k)坐标如下:

dx=w/n dy=h/m dz=0 或±2 或±4 k=0 或 1 或 2

式中,w 表示地组织一个循环的宽度,n、m 为常数,h 表示线圈高度,dz 表示纱线在线圈上的层次,k=1 表示逆时针弧线,k=2 表示顺时针弧线,k=0 表示直线。

1.2 压纱组织线圈模型

传统压纱经编织物的线圈结构有两种形式,如图 2 所示。本文所编的程序对这种传统形式加以改进,将成圈部分设计成类似太极八卦图如图 3 所示,压纱结构线圈模型由 10 个点来控制,图中点 2、1 (1')、0、3(3')、4、5(5')、6 均为压纱线圈控制点,延展线通过连接两个线圈的控制点而使线圈连接起来。



图 2 压纱经编织物线圈模型

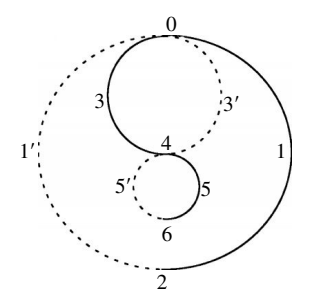
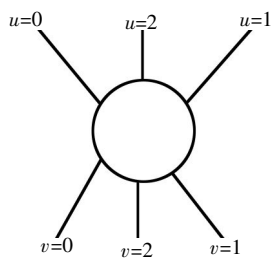


图 3 压纱线圈控制点模型

由于延展线连接方向不同会 使压纱在织物上的线圈形态不同, 故将延展线也建立一个模型如图 4 所示,根据延展线方向即可得出 9 种形态的压纱线圈图。

VC++程序中判断 u,v 的条件 如下・

if (s[(k+2)%hh]+s[(k+3)%



注:v. 连接前一个线圈与该线圈的延展线(即导人延展线);u.连接该线圈与下一个线圈的延展线(即引出延展线);u、v 值.进出延展线的方向。

图 4 压纱线圈延展线模型

hh]>s[k]+s[k+1]) u=0; else if(s[(k+2)%hh]+s[(k+3)%hh]<s[k]+s[k+1]) u=1; else u=2;

$$\begin{split} & \text{if}(s \lceil (k-2+hh)\% hh \rceil + s \lceil (k-1+hh)\% hh \rceil > s \lceil k \rceil + s \lceil k+1 \rceil) \text{ v=0;} \\ & \text{else if}(s \lceil (k-2+hh)\% hh \rceil + s \lceil (k-1+hh)\% hh \rceil < s \lceil k \rceil + s \lceil k+1 \rceil) \text{ v=1;} \end{split}$$

else v=2;

在建立了以u,v为参数的模型后,将u,v进行组合,并在程序中运行验证,最终得到的9大类线圈模型如表1所示。

表 1 中.ki 由垫纱数码决定。 若垫纱数码某组数字中前一个数 字大于后面的数字,则 ki=2(顺时 针):前一个数字小于后一个数字, 则 ki=1(逆时针)。表 2、表 3 则分 别说明了u,v的组合方式与延展 线的走向,如种类Ⅰ:纱线逆时针 走时,导入延展线连接点2,引出延 展线连接点 6. 压纱线圈如图 3 中 弧线 2-1-0-3-4-5-6.即表 1 中 u= 0,v=0 时 ki=1 的情况, 纱线由点 2 经点1逆时针转过180°到点0再 经过点 3 逆时针 180°到点 4,再经 过点 5 顺时针转过 180°到点 6,表 2、表 3 中模型 I~IX点线轨迹对应 表1中1~9所示线圈模型。

表 1 9大类线圈模型

种类	ki=1	ki=2	种类	ki=1	ki=2
第 1 类 u=0 v=0	5		第 6 类 u=1 v=0		\bigcup
第 2 类 u=1 v=1			第 7 类 u=2 v=0		
第 3 类 u=0 v=1	5	0	第 8 类 u=1 v=2		
第 4 类 u=2 v=1			第 9 类 u =2 v=2		
第 5 类 u=0 v=2	5				

2 实验验证

2.1 编链生成

首先要确定控制点的坐标点, 坐标值用w,h来表示。编链由 15 个点控制生成,各点的坐标如表 4 所示。

编链仿真图如图 5 所示。

通过控制点确定编链的最小 单元,再通过循环语句对编链进行 纵横向扩展。编链由下而上,从左 至右得到如图 6 压纱经编组织地 组织效果图。

2.2 压纱规律

压纱经编组织利用压纱梳栉 满穿或部分穿经,结合运用开口或 闭口垫纱运动,由此而形成多种花 纹[5]。在确定压纱经编组织地组织 后,可用同样的方法确定压纱线圈 模型图。不同的垫纱数码会形成压 纱线圈的不同走向,而不同的走向 会对应出现不同的压纱线圈图。如 图 7 所示即为由 9 种不同垫纱数 码综合组成的多个垫纱运动图模 型中的几种。

3 结束语

由于经编针织物组织多变.且 原料种类繁多,故首先从较简单的 开口编链,压纱梳栉闭口垫纱运动 开始进行仿真模拟,在初步理解压 纱经编织物的几何特点后, 再将 闭口改为开口,最后将垫纱在开 口与闭口之间转换、并建立相应 的灵活性较强的模型。大量的程序 实验证明了运用 VC++进行仿真的 可行性:仿真效果好,建立的数学 模型能从微观的角度更清楚地了 解显现经编织物的几何特点,这对 于经编进一步仿真具有一定的指 导性。但若要实现对各种经编织 物,如缺垫经编组织、网眼类经编 组织的三维模拟、还需进行更深 入细致的研究,这也将是今后进 一步研究的方向。

表 2 u 和 v 的组合方式

种类	I	II	Ш	IV	V	VI	VII	VIII	IX
u	0	1	0	2	0	1	2	1	2
v	0	1	1	1	2	0	0	2	2

表 3 延展线走向

图轨迹 80°) 180°) (*) [ki=1] 180°)
180°) 180°) 180°) °)[ki=1]
180°) 180°) °)[ki=1]
180°) °)[ki=1] 180°)
180°) °)[ki=1] 180°)
180°) °)[ki=1] 180°)
°)[ki=1]
180°)
1000)
180°)
270°)
270°)
180°)
°)[ki=1]
270°)
90°)
180°)
°)[ki=1]
180°)

表 4 控制点坐标

控制点	0	1	2	3	4	5	6	7	8	9	10	11	12	13	14
坐标 x	1.0 dx	0	2.0dx	4.0 dx	3.0 dx	2.0 dx	2.5 dx	3.0dx	4.0 dx	2.0 dx	0	1.5dx	2.5 dx	1.5 dx	1.0d <i>x</i>
坐标 y	-1.0dy	3.0dy	4.0dy	3.0dy	-2.5dy	-1.5dy	0.8 dy	3.0dy	7.0d <i>y</i>	8.0dy	7.0d <i>y</i>	2.5dy	3.5dy	6.0d <i>y</i>	7.0dy
坐标 z	-4.0	0	0	0	-4.0	4.0	2.0	-4.0	0	0	0	-4.0	4.0	2.0	-4.0
弧向 k	0	2.0	2.0	0	2.0	0	0	0	1.0	1.0	0	1.0	0	0	/

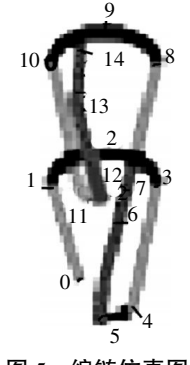


图 5 编链仿真图

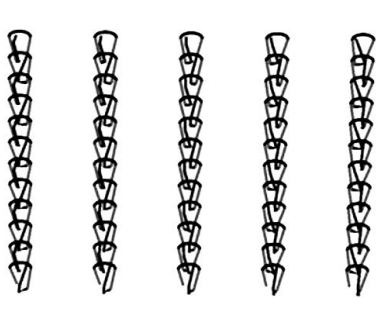
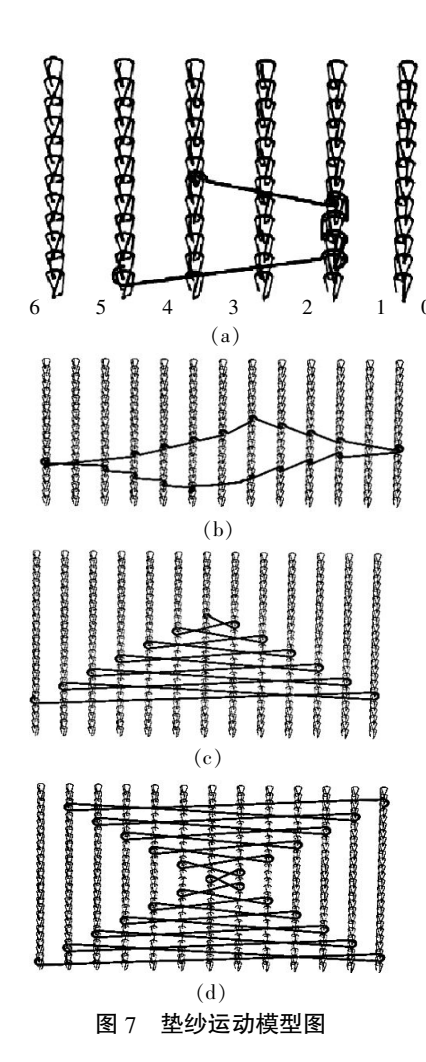


图 6 编链运动效果图



参考文献

[1] 龙海如. 针织学[M]. 北京: 中国纺织出版社, 2003.

[2]GOKTEPE O, HARLOCKS C. Three dimensional computer modelling of warp knitter structures [J]. Textile Research Journal, 2002, 72(3):266–272.

[3]GOKTEPE O. Use of non-uniform rational B-splines for three dimensional computer simulation of warp knitted structures[J]. Turk J Engin Environ Sci, 2001,25;369–378.

[4]GOKTEPE O. A 3-D loop model for visual simulation of warp-knitted structures[J]Journal Textile Institute, 2002, 93 (1):11-28.

[5]张丽哲, 蒋高明, 高卫东. 经编组织的三维仿真与动态实现[J]. 纺织学报, 2009,30(2):125-129.

收稿日期 2011年9月15日

链接

压纱经编组织概述

压纱经编组织是指有衬垫纱线绕在线圈基部的经编组织,其中衬垫纱不编织成圈,只是在垫纱运动的始末呈纱圈缠绕在地组织线圈的基部,而其他部分均处于地组织纱线的上方,即处于织物的工艺反面,从而使织物获得三维立体花纹。压纱经编组织常用来在坯布上形成突出绣纹,改善坯布的尺寸稳定性。

1 压纱经编组织的形成

压纱经编组织由一把梳栉(后梳)编织地组织,此梳栉称为地梳; 另一把梳栉(前梳)垫纱,不成圈,纱线绕在线圈根部,此纱称为衬垫 纱,这一把梳栉叫压纱梳。衬垫纱在地组织上形成花纹(在坯布反面), 此结构能减少坯布横向拉伸性和脱散性。

压纱组织是在带有压纱板机构的经编机上编织的,压纱板是一片与机器门幅等宽的金属薄片,位于压纱梳栉之后,地组织梳栉之前,压纱板不仅能与导纱梳栉一起前后摆动,而且能做上下垂直运动。

形成压纱经编组织的过程如下:两把地梳在压纱板后面,压纱板前面有两把压纱梳,开始地梳、压纱梳以及压纱板同时摆到针前,在针前横移一个针距后,向针后摆,当压纱梳摆至针后时,压纱板突然下降将压纱梳的纱线压到针杆上,当针下降时,旧线圈与压纱纱线同时从针头上脱下,地梳与压纱梳一般用反向垫纱,这样当压下压纱纱线时不会将地纱带下。

2 压纱经编组织的类型

压纱经编组织有多种类型,其中应用较多的是绣纹压纱经编组织。

a. 绣纹压纱经编组织

由压纱衬垫纱线在地组织表面形成明显凹凸绣纹的经编组织。由于压纱纱线不成圈编织,因而可以使用花色纱或者粗纱线,压纱梳栉可以满穿或部分穿经,可以运用开口或闭口垫纱运动,由此形成多种花纹。

压纱前梳与地梳的针前垫纱方向不同,前梳纱在坯布中的线圈结构也不同。

前梳纱与地梳纱同向垫纱时,当同向针前垫纱的前梳纱被压纱板下压至针杆时,由于滞留在针杆上的地组织纱线受到意外的张力,会引起线圈歪斜。因此同向针前垫纱编织时,先由前梳栉进行针前垫纱,接着压纱板下压,然后地组织进行针前垫纱。除了这种垫纱方法之外,为了防止线圈歪斜,还将前梳纱的张力调得小一些,地梳纱的张力调得大一些。

前梳纱与地梳纱逆向垫纱结构也叫做"8"字形组织,比较容易编织,而且应用也最为广泛,由于这种方法形成的线圈呈"8"字形,因此它适用于运动衣等领域。

b. 缠接压纱经编组织

利用压纱纱线相互缠接,或与其他纱线缠接,形成一定花纹效应的经编组织。

c. 经纬交织组织